

物 理

注 意

1. 問題は全部で16ページである。
2. 解答用紙に氏名・受験番号を忘れずに記入すること。(ただし、マーク・シートにはあらかじめ受験番号がプリントされている。)
3. 解答はすべて解答用紙に記入すること。
4. 問題冊子の余白は計算に利用してよい。
5. 解答用紙は必ず提出のこと。この問題冊子は提出する必要はない。

マーク・シート記入上の注意

1. 解答用紙(その1)はマーク・シートになっている。HBの黒鉛筆またはシャープペンシルを用いて記入すること。
2. 解答用紙にあらかじめプリントされた受験番号を確認すること。
3. 解答する記号の○を塗りつぶしなさい。○で囲んだり×をつけたりしてはいけない。

解答記入例(解答が1のとき)

| | | | | | | | | | | |
|---|----------------------------------|---|---|---|---|---|---|---|---|---|
| 1 | <input checked="" type="radio"/> | ② | ③ | ④ | ⑤ | ⑥ | ⑦ | ⑧ | ⑨ | ⑩ |
|---|----------------------------------|---|---|---|---|---|---|---|---|---|

4. 一度記入したマークを消す場合は、消しゴムでよく消すこと。×をつけても消したことになる。
5. 解答用紙をよごしたり、折り曲げたりしないこと。

1 以下の文章の空欄(1)~(4)にあてはまる最も適切な式を解答用紙(その2)の解答欄に記入せよ。また、問1および問2の解答を解答用紙(その2)の解答欄に記入せよ。

図1-1のように、垂直に切り立った崖の上の水平面から大きさの無視できる小球Aを発射し、崖下の水平な底面ではね返らせる場合を考える。小球Aの質量を m 、重力加速度を g とする。摩擦や空気抵抗はすべて無視できるものとする。図のように x 軸、 y 軸をとる。なお、小球の運動は紙面内に限るものとする。

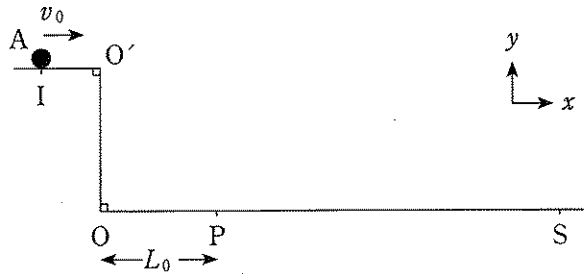


図1-1

小球Aを点Iから水平方向に速さ v_0 で発射したところ、時刻 $t=0$ で点 O' を通過し、鉛直な崖 OO' から落ち始めた。時刻 $t=T_0$ において、小球Aは点Pにおいて地面とはじめて衝突した。崖の高さは(1)であり、またOP間の距離 L_0 は、 $L_0 = T_0 \times$ (2) である。地面と衝突する直前の小球Aの速度の x 成分、 y 成分をそれぞれ v_x 、 v_y とすると $v_x =$ (3) 、 $v_y =$ (4) である。小球Aが地面に衝突するまでの間に重力から受けた仕事は $W =$ (5) である。

小球Aは地面で弾性衝突をした。小球Aと地面との摩擦は無視できるので、衝突直後の小球Aの速度は $v'_x =$ (6) 、 $v'_y =$ (7) となる。このとき、小球Aの受けた力積の大きさは(8)である。

問 1 小球 A の運動の軌跡を解答用紙(その 2)の図 1—3 に記入せよ。点 I を出発して点 P を通過し、さらに図 1—3 の点 S またはその上を通過するまでの軌跡をすべて描くこと。

次に、図 1—2 のように、先ほどの崖 OO' から距離 L_1 だけ離れたところに同じ高さの崖 RR' がある場合を考える。点 I から小球 A を水平方向に速さ v_1 で発射すると、時刻 $t=0$ で点 O' を通過し、地面に N 回衝突した後に、点 R' にて反対側の崖の上に達し、 $R'F$ 上を移動した。点 R' に到達した時刻を $t=T_1$ とすると、 $T_1 = T_0 \times$ (9) である。また $L_1 = T_0 \times$ (10) である。

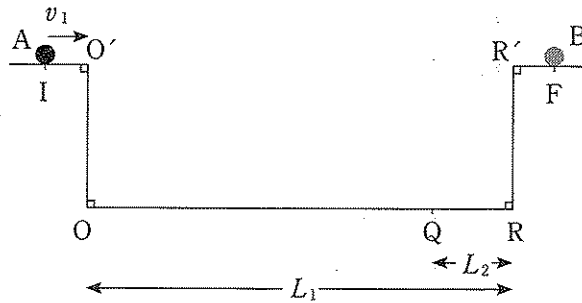


図 1—2

小球 A は点 F に達したときに、大きさの無視できる小球 B と弾性衝突をした。小球 B の質量を M とする。ただし $M > m$ である。小球 B と衝突した後、小球 A の速さは衝突前の速さの $\frac{2}{3}$ 倍であった。これより、 $\frac{M}{m} =$ (11) であることがわかる。

その後、小球 A は点 R' を通過し、地面と N' 回衝突してからそのまま元の崖 OO' の上に達し、点 I に戻ったものとする。点 R' を通過した時刻を t' とし、その後はじめて地面と衝突した点を点 Q とする。このときの時刻を $t' + T_2$ とすると、 $T_2 = T_0 \times$ (12) である。また、QR 間の距離を L_2 とすると、 $L_2 = T_0 \times$ (13) である。また、 L_1 と L_2 の比より、 $N' = N \times$ (14) であることがわかる。

問 2 小球と地面との衝突回数 $N + N'$ を最も少なくなるように点 I に戻すことを考える。この場合の N および v_1 を求めよ。ここでは、 N および N' が正の整数であることに注意せよ。 v_1 は L_1 および T_0 を用いてあらわせ。

<余 白>

- 2 以下の空欄(1)~(6)に最もよくあてはまる語句または式をそれぞれの解答群から選び、解答用紙(その1)の対応する解答欄にマークせよ。空欄(4 a)と(4 b)については、その組み合わせを答えよ。

図2-1のような、一辺の長さが L の正方形の形をした変形しないコイル ABCDEF を考える。出力端子 A, F の間のすきまは L に比べてじゅうぶんに狭く、また導線の太さは無視できるものとする。コイルは CD および EB の中点で x 軸と垂直に交わっていて、 x 軸を回転軸として一定の角速度 ω で回転している。時刻 $t=0$ で、コイルは xy 平面上にあり、このときのコイルの回転角を $\theta=0$ とする。ここで、 θ の向きは図2-1のように決める。なお、図2-1における点線で描かれた正方形は $t=0$ におけるコイルを示す。このコイルは、 y 軸の正の方向を向いた一様な大きさ B_0 の磁束密度の磁場中におかれている。

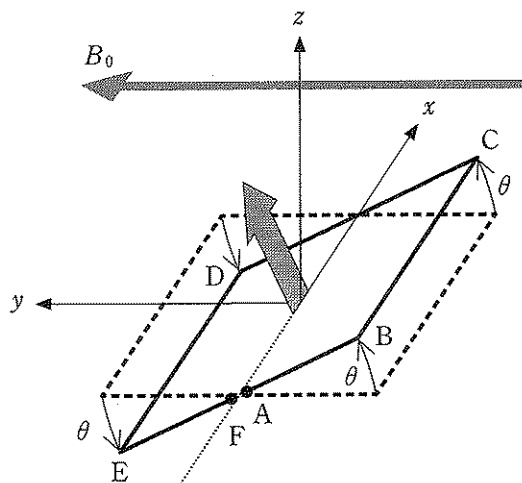


図2-1

このコイル ABCDEF の面積は L^2 であり、コイルの回転角 $\theta = \omega t$ を用いると、時刻 t にコイルを貫く総磁束は $\Phi(t) = \boxed{(1)}$ となる。ただし、図2-1の大きな矢印の方向に貫く磁束の向きを正とする。

(1)の解答群

- ① $LB_0 \sin \omega t$ ② $LB_0 \cos \omega t$ ③ $-LB_0 \sin \omega t$
 ④ $-LB_0 \cos \omega t$ ⑤ $L^2 B_0 \sin \omega t$ ⑥ $L^2 B_0 \cos \omega t$
 ⑦ $-L^2 B_0 \sin \omega t$ ⑧ $-L^2 B_0 \cos \omega t$ ⑨ $L^2 B_0$
 ⑩ 0

このコイルにAからFの向きに生じる起電力について考えてみよう。電磁誘導の法則によると、起電力 $V(t)$ は $\Phi(t)$ を用いて

$$V(t) = - \frac{\Delta\Phi(t)}{\Delta t} \quad (1)$$

となる。ここで Δt は微小な時間間隔で、 $\Delta\Phi$ はその間の Φ の変化である。

磁場中を回転するコイルに生じる起電力について、別の考え方で導出してみよう。まず準備として、図2-2のように、常に x 軸方向を向いた長さ L の一本の導線 GH が、 y 軸の正の方向を向いた一様な大きさ B_0 の磁束密度の磁場中におかれている場合を考える。導線の太さは無視できるものとする。導線 GH が z 軸の正の方向に速さ v_z で動いているときの、導線内の自由電子に働くローレンツ力を考えてみる。導線内の自由電子は電荷 $-e < 0$ を持ち、また導線 GH に対して最初は静止していたとする。

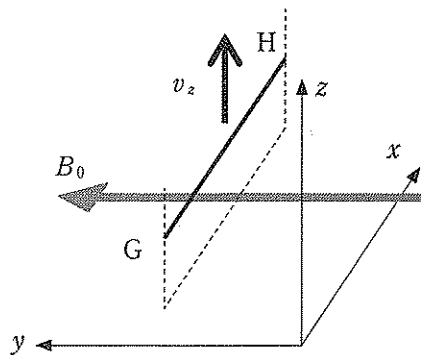


図 2-2

このとき、磁場が y 軸の正の方向を向いていることから、1つの自由電子に働

くローレンツ力は $\square(2)$ の方向を向き、その大きさは $F = \square(3)$ である。このようなローレンツ力によって、導線 GH 内の自由電子は移動し、導線内に電子密度の過剰・不足が生じる。このため、G 端側は $\square(4 a)$ に、H 端側は $\square(4 b)$ に帯電する。これによって導体内に電場が生じ、GH 間に電位差が生じる。自由電子は、この電場による力とローレンツ力が釣り合ったときに移動が止まる。釣り合いの状態では電場は向きが $\square(5)$ の方向で大きさが $E = \square(6)$ となる。これより GH 間には大きさ $V = \square(7)$ の電位差が生じる。これが起電力の起源である。この起電力の大きさに単位電荷をかけた量は、この単位電荷を G から H まで動かしたときにローレンツ力がする仕事の大きさに等しい。

一方で、導線 GH が x 軸方向に動くときには、自由電子に働くローレンツ力は $\square(8)$ を向くため、力の導線方向の成分は 0 となる。このため、起電力は生じない。また、導線 GH が y 軸方向に動くときには、ローレンツ力そのものが働かないため、起電力は生じない。したがって、導線 GH を斜め方向に速度 (v_x, v_y, v_z) で平行移動させたときの導線に生じる起電力の大きさも $V = \square(7)$ で表される。

(2), (5)の解答群

- ① x 軸正 ② x 軸負 ③ y 軸正 ④ y 軸負
 ⑤ z 軸正 ⑥ z 軸負 ⑦ 座標原点

(3), (6), (7)の解答群

- ① ev_z ② eB_0 ③ eL ④ v_zB_0 ⑤ v_zL
 ⑥ B_0L ⑦ ev_zB_0 ⑧ ev_zL ⑨ eB_0L ⑩ v_zB_0L

(4 a), (4 b)の組み合わせの解答群

- ① (4 a) 正 (4 b) 正 ② (4 a) 正 (4 b) 負
 ③ (4 a) 負 (4 b) 正 ④ (4 a) 負 (4 b) 負

(8)の解答群

- ① x 軸方向 ② y 軸方向 ③ z 軸方向 ④ xy 面内
⑤ yz 面内 ⑥ zx 面内 ⑦ 座標原点の方向

それでは、図 2—1 の回転するコイルに生じる起電力について考えてみよう。
まず、導線 BC 内の自由電子に働くローレンツ力を考える。時刻 t における導線 BC の z 軸方向の移動速度は $v_z =$ (9) であり、したがってこのときのローレンツ力の導線内 B から C に向かう方向の成分は (10) である。先ほどの議論より、このローレンツ力によって起電力が生じる。BC 間の電位差の大きさは (11) である。また、導線 DE 内の自由電子に働くローレンツ力についても同様に考えると、DE 間の電位差の大きさは (12) となる。

(9)の解答群

- ① $\frac{L}{2} \cos \omega t$ ② $\frac{L}{2} \sin \omega t$ ③ $\frac{L}{2} \omega \cos \omega t$
④ $\frac{L}{2} \omega \sin \omega t$ ⑤ $\frac{L}{2} \omega \tan \omega t$ ⑥ $-\frac{L}{2} \omega \cos \omega t$
⑦ $-L\omega \sin \omega t$ ⑧ $L\omega \cos \omega t$ ⑨ $-L\omega \tan \omega t$
⑩ $L\omega \sin \omega t$

(10), (15)の解答群

- ① $eB_0 L \sin \omega t$ ② $eB_0 L \cos \omega t$ ③ $eB_0 \frac{L}{2} \sin \omega t$
④ $eB_0 \frac{L}{2} \cos \omega t$ ⑤ $eB_0 L \omega \sin \omega t$ ⑥ $eB_0 L \omega \cos \omega t$
⑦ $eB_0 \frac{L}{2} \omega \sin \omega t$ ⑧ $eB_0 \frac{L}{2} \omega \cos \omega t$ ⑨ $eB_0 L$
⑩ 0

(1), (2)の解答群

- ① $B_0 L^2 \omega \cos \omega t$ ② $B_0 L^2 \omega \sin \omega t$ ③ $B_0 \frac{L^2}{2} \omega \cos \omega t$
④ $B_0 \frac{L^2}{2} \omega \sin \omega t$ ⑤ $B_0 L^2 \cos \omega t$ ⑥ $B_0 L^2 \sin \omega t$
⑦ $B_0 \frac{L^2}{2} \cos \omega t$ ⑧ $B_0 \frac{L^2}{2} \sin \omega t$ ⑨ $B_0 L^2$
⑩ 0

次に、導線 AB の部分の起電力を同様に考えてみる。回転する導線 AB 上の自由電子の速度の向きは、必ず にあり、ローレンツ力は磁束密度の向きと速度の向きの両方に垂直なので必ず を向く。このような考え方により、この導線 AB 上の自由電子を導線の方向に動かそうとする力は となり、この部分のローレンツ力による起電力は 0 となる。同様に、ローレンツ力によって CD 間および EF 間に生じる起電力も 0 である。

(13), (14)の解答群

- ① x 軸方向 ② y 軸方向 ③ z 軸方向 ④ xy 面内
⑤ yz 面内 ⑥ zx 面内 ⑦ 座標原点の方向

一周の回路 ABCDEF に働く起電力はこれらの和として求めることができる。端子 AF 間を閉じたときに電流が ABCDEF の向きに流れるときに起電力が正であるとして、それぞれの区間における起電力の向きに注意して和をとると $V(t) = \text{$ となる。

この結果は、電磁誘導の法則から導かれる起電力の式(1)と一致するはずである。実際、微分の考えかたを使えば式(1)から求めた起電力も $V(t) = \text{$ となり、両者が一致することを確認できる。

(16)の解答群

- ① $-2B_0L^2\omega \cos \omega t$ ② $2B_0L^2\omega \cos \omega t$ ③ $-B_0L^2 \cos \omega t$
④ $B_0L^2 \cos \omega t$ ⑤ $-2B_0L^2\omega \sin \omega t$ ⑥ $2B_0L^2\omega \sin \omega t$
⑦ $-B_0L^2\omega \cos \omega t$ ⑧ $B_0L^2\omega \sin \omega t$ ⑨ B_0L^2
⑩ 0

<余 白>

<余 白>

3 以下の文章を読み、空欄(17)~(24)にはもっとも適切な解答をそれぞれの解答群より選び、解答用紙(その1)の該当する記号をマークせよ。設問(A)については解答用紙(その3)の所定の欄に解答せよ。また、空欄(ア)、(イ)にあてはまる最も適切な式を解答用紙(その3)の解答欄に記入せよ。

ホイヘンスは図3-1のように、ある時刻 t での波面上の無数の点波源(図中の黒点)から速さ v で進む円形の波面の波が出ていると考え、これを素元波と名づけた。さらに、時刻 $t + \Delta t$ (ただし $\Delta t > 0$)における波面は、時刻 t での波面から出た半径 の素元波に共通に接する直線または曲線(包絡線)によって与えられると考えた。この考え方はホイヘンスの原理として知られている。以下では xy 平面上を伝わる波を考える。

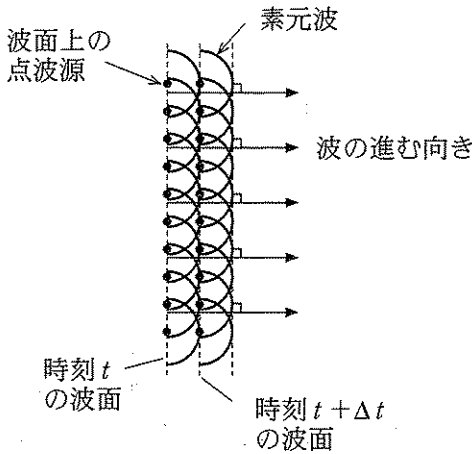


図3-1

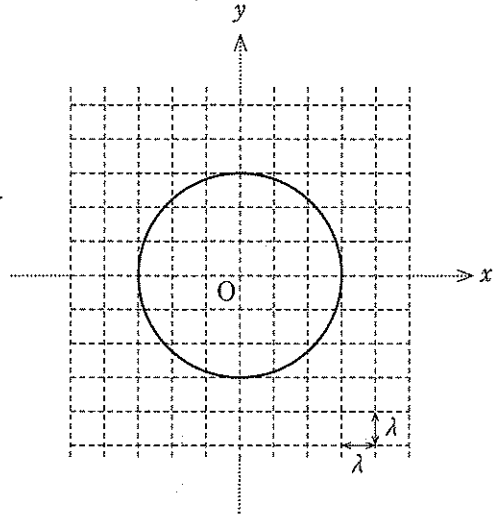


図3-2

(A) 図3-2のように、時刻 t における波面が原点 O から発した円である場合、時刻 $t + \Delta t$ において考えられる波面を解答用紙(その3)の図3-5に描け。ただし Δt は波の一周期に相当する時間とする。複数の素元波もあわせて描くこと。なお、図の点線の間隔は波長 λ に一致する。

図3-3(a)のように、非常に細い2本のスリット S_1 および S_2 と、点 Q で x 軸と垂直に交わるスクリーンがある。波長 λ の光が S_1 および S_2 を通過してから、スクリーン上に作る模様を観測する。

スリット S_1 および S_2 と x 軸との距離はともに $\frac{d}{2}$ で、2本のスリットとスクリーンとの距離 ℓ は波長 λ やスリット間の距離 d に対して十分に大きく、またスリット間の距離 d は波長 λ の数倍の大きさである。

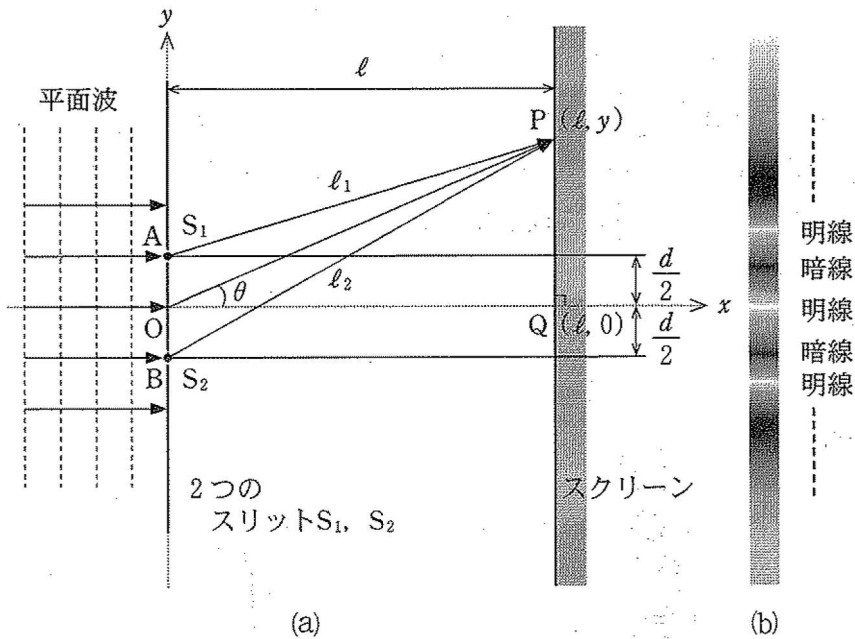


図3-3

スリットを通過した単色平面波の xy 平面上での回折と干渉を考察するために、図3-3(a)のようにスリット S_1 の中央の点 A およびスリット S_2 の中央の点 B にそれぞれ1つずつある点波源と、おのおのの点波源から出る素元波を考える。

x 軸からの距離が y であるスクリーン上の点 P (ただし $|y|$ は ℓ に対して十分に小さい) と点 A を結ぶ直線 AP の長さが ℓ_1 、点 P と点 B を結ぶ直線 BP の長さが ℓ_2 で与えられる場合、 $m = 0, \pm 1, \pm 2, \dots$ (ただし $m \geq 0$ は $y > 0$ のとき、 $m < 0$ は $y < 0$ のときにとるものとする) と波長 λ を用いて、 $\ell_2 - \ell_1 =$ (ア) が成り立つときに光は点 P で強め合い、 $\ell_2 - \ell_1 =$ (イ) が成り立つときには光は点 P で弱め合う。

ここで、原点 O と点 P を結ぶ直線 OP と x 軸のなす角を θ とする。原点のあたりを拡大した図 3—4 のように、本問題では直線 AP 及び直線 BP は直線 OP とほぼ平行なので、 $l_2 - l_1$ は θ を用いて (18) と表される。さらに、 $|y|$ は l に対して十分に小さいので $OP \cong OQ$ と表され、 OP と OQ は PQ よりも非常に長いことを考慮すると、 $\sin \theta \cong \tan \theta =$ (19) となる。これらのことから $l_2 - l_1 \cong$ (20) が得られる。

以上のことから、式 (21) を満たす場合、点 P では光が強め合い、式 (22) を満たす場合、点 P では光は弱め合う。実際には光の強弱は、図 3—3(b) に示してあるようにスクリーン上に干渉縞、すなわち明線と暗線として観測される。よって、これらの式を用いると、点 Q 上の $m = 0$ の明線とその隣りの $m = +1$ 、あるいは $m = -1$ の明線との間隔は (23) で与えられる。また、点 Q 上の明線に隣接する 2 つの暗線の間隔は (24) と一致する。

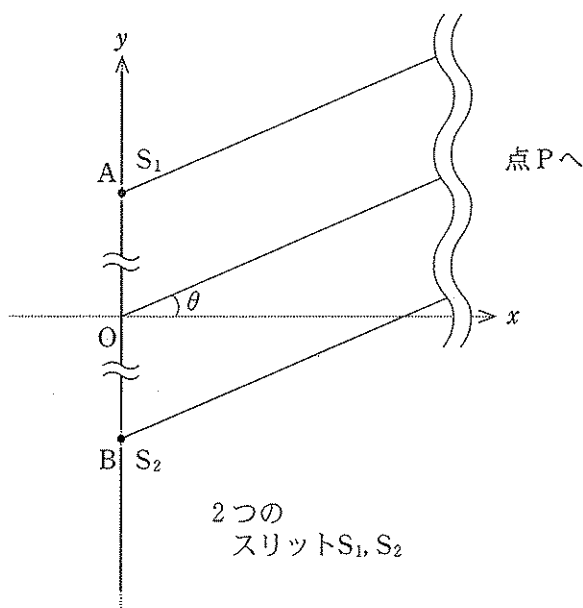


図 3—4

空欄(17)の解答群

- ① 0 ② $\frac{1}{3} v \Delta t$ ③ $\frac{1}{2} v \Delta t$
④ $v \Delta t$ ⑤ $2 v \Delta t$ ⑥ $\frac{1}{3} v (t + \Delta t)$
⑦ $\frac{1}{2} v (t + \Delta t)$ ⑧ $v (t + \Delta t)$ ⑨ $2 v (t + \Delta t)$
⑩ $v (t + 2 \Delta t)$

空欄(18)の解答群

- ① $\frac{1}{2} d \sin \theta$ ② $\frac{1}{2} d \cos \theta$ ③ $\frac{1}{2} d \tan \theta$ ④ $d \sin \theta$
⑤ $d \cos \theta$ ⑥ $d \tan \theta$ ⑦ $2 d \sin \theta$ ⑧ $2 d \cos \theta$
⑨ $2 d \tan \theta$ ⑩ $3 d \sin \theta$

空欄(19), (20)の解答群

- ① $\frac{\ell}{2y}$ ② $\frac{\ell}{y}$ ③ $\frac{2\ell}{y}$ ④ $\frac{y}{2\ell}$ ⑤ $\frac{y}{\ell}$
⑥ $\frac{\ell d}{2y}$ ⑦ $\frac{\ell d}{y}$ ⑧ $\frac{2\ell d}{y}$ ⑨ $\frac{y d}{2\ell}$ ⑩ $\frac{y d}{\ell}$

空欄(21), (22)の解答群

- ① $y = m \frac{d\ell}{\lambda}$ ② $y = (m + \frac{1}{2}) \frac{d\ell}{\lambda}$ ③ $y = m \frac{d\lambda}{\ell}$
④ $y = (m + \frac{1}{2}) \frac{d\lambda}{\ell}$ ⑤ $y = m \frac{\ell\lambda}{d}$ ⑥ $y = (m + \frac{1}{2}) \frac{\ell\lambda}{d}$
⑦ $y = m\lambda$ ⑧ $y = (m + \frac{1}{2})\lambda$ ⑨ $y = m \frac{d^2}{\ell\lambda^2}$
⑩ $y = (m + \frac{1}{2}) \frac{d^2}{\ell\lambda^2}$

空欄(23), (24)の解答群

- ① $\frac{\ell}{d\lambda}$ ② $\frac{d\lambda}{\ell}$ ③ $\frac{d}{\ell\lambda}$ ④ $\frac{\lambda}{d\ell}$ ⑤ $\frac{\ell\lambda}{d}$
⑥ $2 \frac{\ell}{d\lambda}$ ⑦ $2 \frac{d\lambda}{\ell}$ ⑧ $\frac{1}{2} \frac{d}{\ell\lambda}$ ⑨ $\frac{1}{2} \frac{\lambda}{d\ell}$ ⑩ $\frac{1}{2} \frac{\ell\lambda}{d}$

